

### 3.4.5 2005年春季(4~5月)分析結果

結果は、以下の表及び図としてまとめた。なお、値はすべてヒ素換算値とした。

表 3.4.7 2005年春季(4~5月)地下水分析結果一覧表

図 3.4.10 2005年春季(4~5月)ABトラック地下水 DPAA 汚染状況図

図 3.4.11 2005年春季(4~5月)A井戸周辺地下水 DPAA 汚染状況図

図 3.4.12 2005年春季(4~5月)B地区地下水 DPAA 汚染状況図

#### 1) A井戸周辺

A井戸直近では、2005年冬季測定に引続き、A井戸の南西と南東の2箇所の深度30mを中心に高濃度汚染が認められる。

A井戸の南東部分のNo.72の深度30mでは、これまでの最高の34.3mg-As/Lを検出した。

グラウンド北西角(No.27、155)は、2005年冬測定では一旦濃度が低下したが、今回また上昇した。

掘削調査地点付近のNo.46では、濃度が上昇し、深度10mがもっとも高くなっている。

#### 2) B地区

2005年冬季測定に引続き、B地区中心付近のNo.163孔の深度29mで0.46mg-As/Lの汚染が認められ、周辺に向かって薄くなる傾向があるが、B地区北側のNo.58とNo.167の深度30mで、それぞれ0.48mg-As/L、0.36mg-As/Lとやや濃度が高くなる。

#### 3) AB間

2005年冬季測定に引続き、No.174、55、194、177、56、181の深度30mを主体に非常に薄い汚染が確認されている。深度10mの汚染はNo.181を除き全く確認されなかった。

#### 4) ABトラック外周

17孔のモニタリング孔のうち、南西端に位置するM-3孔において、2005年冬測定に引続き、わずかに濃度が増加したものの非常に低濃度(深度10mで0.042mg-As/L、深度20mで0.042mg-As/L、深度30mで0.047mg-As/L)のジフェニルアルシン酸(DPAA)を検出した。それ以外の16孔では検出されなかった。

表3.4.7 2005年春季(4~5月)地下水分析結果一覽表

地点番号	地区	深度(m)	採水日	DPAA	地点番号	地区	深度(m)	採水日	DPAA	地点番号	地区	深度(m)	採水日	DPAA
65	B	10	4月28日	ND.	199	AB	10	5月6日	ND.	30	A	10	4月25日	ND.
65	B	20	4月28日	ND.	199	AB	20	5月6日	ND.	31	A	10	4月25日	ND.
65	B	30	4月28日	ND.	199	AB	29	5月6日	ND.	32	A	20	4月25日	ND.
66	B	10	4月28日	ND.	181	AB	10	5月6日	86.4	33	G	10	4月25日	ND.
66	B	20	4月28日	ND.	181	AB	20	5月6日	136.7	34	G	20	4月25日	ND.
66	B	28	4月28日	ND.	181	AB	30	5月6日	169.4	35	G	30	4月25日	ND.
57	B	10	4月26日	ND.	180	AB	10	5月6日	ND.	46	G	10	4月25日	ND.
57	B	20	4月26日	1.5	180	AB	20	5月6日	ND.	47	G	20	4月25日	ND.
57	B	25	4月26日	4.4	180	AB	30	5月6日	ND.	48	G	20	4月25日	85.2
64	B	10	4月26日	ND.	198	AB	10	5月6日	ND.	49	G	30	4月25日	85.2
64	B	20	4月26日	ND.	198	AB	20	5月6日	ND.	50	G	20	4月25日	ND.
64	B	30	4月26日	32.4	198	AB	28	5月6日	2.0	51	A	10	5月9日	ND.
173	B	10	5月6日	ND.	51	A	10	5月6日	ND.	52	A	20	5月9日	ND.
173	B	20	5月6日	2.4	51	A	20	5月6日	ND.	53	A	10	5月9日	ND.
173	B	27	5月6日	25.7	48	A	10	5月6日	ND.	54	A	20	5月9日	ND.
190	B	10	4月26日	ND.	48	A	10	5月6日	ND.	82	G	10	4月25日	ND.
172	B	10	4月26日	ND.	48	A	20	5月6日	ND.	83	G	20	4月25日	ND.
172	B	20	4月26日	ND.	48	A	30	5月6日	120.4	84	G	30	4月25日	ND.
188	B	10	4月26日	ND.	50	A	10	5月6日	ND.	85	G	10	4月25日	85.2
169	B	10	4月26日	ND.	50	A	20	5月6日	ND.	86	G	20	4月25日	85.2
169	B	20	4月26日	ND.	30	A	10	5月7日	ND.	87	G	30	4月25日	87.4
169	B	30	4月26日	111.9	30	A	20	5月7日	ND.	88	G	10	4月25日	3003.5
189	B	10	4月26日	ND.	30	A	25	5月7日	ND.	89	G	20	4月25日	1865.6
67	B	10	4月28日	ND.	27	A	10	4月25日	4.7	90	G	20	4月25日	1237.8
67	B	20	4月28日	ND.	27	A	20	4月25日	6628.5	91	G	10	4月25日	217
67	B	30	4月28日	ND.	27	A	30	4月25日	6022.0	92	G	20	4月25日	264.5
170	B	10	4月26日	ND.	155	A	10	4月25日	380.4	93	G	10	4月25日	7.5
170	B	20	4月26日	ND.	155	A	20	4月25日	344.5	94	G	20	4月25日	7.6
170	B	30	4月26日	13.5	155	A	30	4月25日	1413.9	95	G	26	4月25日	7.7
166	B	10	4月26日	2.4	47	A	10	5月7日	ND.	96	G	10	4月25日	ND.
187	B	10	4月26日	ND.	47	A	20	5月7日	ND.	97	G	20	4月25日	ND.
58	B	10	4月26日	ND.	47	A	29	5月7日	ND.	98	G	27	4月25日	45.6
58	B	20	4月26日	ND.	49	A	10	5月7日	ND.	99	G	10	4月25日	9.0
480.1	480.1	480.1	480.1	480.1	49	A	20	5月7日	ND.	100	G	15	4月25日	9.5
2.1	2.1	2.1	2.1	2.1	49	A	28	5月7日	ND.	101	G	10	4月25日	27.4
72.9	72.9	72.9	72.9	72.9	156	A	10	4月25日	ND.	102	G	20	4月25日	29.3
6.4	6.4	6.4	6.4	6.4	156	A	20	4月25日	ND.	103	G	28	4月25日	28.5
6.6	6.6	6.6	6.6	6.6	156	A	30	4月25日	291.0	104	G	10	5月7日	ND.
8.2	8.2	8.2	8.2	8.2	40	A	10	4月25日	2.6	105	G	20	5月7日	ND.
ND.	ND.	ND.	ND.	ND.	40	A	20	4月25日	2.8	106	G	30	5月7日	ND.
ND.	ND.	ND.	ND.	ND.	40	A	26	4月25日	3.6	107	G	10	5月7日	ND.
ND.	ND.	ND.	ND.	ND.	79	A	10	4月25日	361.8	108	G	20	5月7日	ND.
ND.	ND.	ND.	ND.	ND.	79	A	20	4月25日	704.2	109	G	29	5月7日	ND.
ND.	ND.	ND.	ND.	ND.	79	A	30	4月25日	10213.0	110	G	10	4月26日	4.3
23.5	23.5	23.5	23.5	23.5	39	A	10	4月25日	712.9	111	G	20	4月26日	4.2
ND.	ND.	ND.	ND.	ND.	39	A	20	4月25日	11600.0	112	G	30	4月26日	4.7
ND.	ND.	ND.	ND.	ND.	39	A	30	4月25日	14466.0	113	G	10	4月26日	ND.
1.6	1.6	1.6	1.6	1.6	158	A	10	4月25日	ND.	114	G	20	4月26日	ND.
ND.	ND.	ND.	ND.	ND.	158	A	20	4月25日	1.1	115	G	30	4月26日	ND.
ND.	ND.	ND.	ND.	ND.	158	A	28	4月25日	26.7	116	G	10	4月26日	ND.
365.0	365.0	365.0	365.0	365.0	6	A	10	4月25日	1.2	117	G	20	4月26日	ND.
ND.	ND.	ND.	ND.	ND.	6	A	20	4月25日	ND.	118	G	30	4月26日	ND.
ND.	ND.	ND.	ND.	ND.	6	A	28	4月25日	438.4	119	G	10	4月26日	ND.
17.4	17.4	17.4	17.4	17.4	34	A	10	4月25日	1656.4	120	G	20	4月26日	ND.
ND.	ND.	ND.	ND.	ND.	34	A	20	4月25日	2761.6	121	G	30	4月26日	ND.
ND.	ND.	ND.	ND.	ND.	34	A	25	4月25日	3328.0	122	G	10	4月26日	ND.
ND.	ND.	ND.	ND.	ND.	42	A	10	4月25日	ND.	123	G	20	4月26日	ND.
ND.	ND.	ND.	ND.	ND.	42	A	20	4月25日	2.1	124	G	30	4月26日	ND.
359.0	359.0	359.0	359.0	359.0	42	A	25	4月25日	18.0	125	G	10	4月26日	ND.
468.0	468.0	468.0	468.0	468.0	7	A	10	4月25日	ND.	126	G	20	4月26日	ND.
ND.	ND.	ND.	ND.	ND.	7	A	20	4月25日	75.0	127	G	30	4月26日	ND.
ND.	ND.	ND.	ND.	ND.	7	A	27	4月25日	2080.6	128	G	10	4月26日	ND.
ND.	ND.	ND.	ND.	ND.	38	A	10	4月25日	ND.	129	G	20	4月26日	ND.
ND.	ND.	ND.	ND.	ND.	38	A	20	4月25日	ND.	130	G	30	4月26日	ND.
ND.	ND.	ND.	ND.	ND.	24	A	10	4月25日	ND.	131	G	10	4月26日	ND.
ND.	ND.	ND.	ND.	ND.	24	A	20	4月25日	1.1	132	G	20	4月26日	ND.
ND.	ND.	ND.	ND.	ND.	20	A	10	4月25日	ND.	133	G	30	4月26日	ND.
ND.	ND.	ND.	ND.	ND.	20	A	15	4月25日	ND.	134	G	10	4月26日	ND.
ND.	ND.	ND.	ND.	ND.	70	A	10	4月25日	ND.	135	G	20	4月26日	ND.
ND.	ND.	ND.	ND.	ND.	70	A	20	4月25日	28.5	136	G	30	4月26日	ND.
ND.	ND.	ND.	ND.	ND.	70	A	29	4月25日	1427.8	137	G	10	4月26日	ND.
16.0	16.0	16.0	16.0	16.0	8	A	10	4月25日	ND.	138	G	20	4月26日	ND.
ND.	ND.	ND.	ND.	ND.	8	A	20	4月25日	ND.	139	G	30	4月26日	ND.
ND.	ND.	ND.	ND.	ND.	8	A	26	4月25日	413.1	140	G	10	4月26日	ND.
ND.	ND.	ND.	ND.	ND.	89	A	10	4月25日	230.2	141	G	20	4月26日	ND.
ND.	ND.	ND.	ND.	ND.	89	A	20	4月25日	5344.5	142	G	30	4月26日	ND.
ND.	ND.	ND.	ND.	ND.	89	A	28	4月25日	11866.0	143	G	10	4月26日	ND.
ND.	ND.	ND.	ND.	ND.	25	A	10	4月25日	ND.	144	G	20	4月26日	ND.
ND.	ND.	ND.	ND.	ND.	25	A	18	4月25日	ND.	145	G	30	4月26日	ND.
ND.	ND.	ND.	ND.	ND.	68	A	10	4月25日	ND.	146	G	10	4月26日	ND.
ND.	ND.	ND.	ND.	ND.	68	A	20	4月25日	8.3	147	G	20	4月26日	ND.
ND.	ND.	ND.	ND.	ND.	68	A	30	4月25日	5553.0	148	G	30	4月26日	ND.
ND.	ND.	ND.	ND.	ND.	13	A	10	4月25日	69.0	149	G	10	4月26日	ND.
ND.	ND.	ND.	ND.	ND.	13	A	20	4月25日	2427.2	150	G	20	4月26日	ND.
ND.	ND.	ND.	ND.	ND.	13	A	30	4月25日	48136.0	151	G	30	4月26日	ND.
ND.	ND.	ND.	ND.	ND.	74	A	10	4月25日	ND.	152	G	10	4月26日	ND.
12.1	12.1	12.1	12.1	12.1	74	A	20	4月25日	682.2	153	G	20	4月26日	ND.
ND.	ND.	ND.	ND.	ND.	74	A	29	4月25日	2540.4	154	G	30	4月26日	ND.
ND.	ND.	ND.	ND.	ND.	160	A	10	4月25日	ND.	155	G	10	4月26日	ND.
ND.	ND.	ND.	ND.	ND.	160	A	20	4月25日	151.9	156	G	20	4月26日	ND.
ND.	ND.	ND.	ND.	ND.	160	A	30	4月25日	1771.6	157	G	30	4月26日	ND.
ND.	ND.	ND.	ND.	ND.	35	A	10	4月25日	ND.	158	G	10	4月26日	ND.
3.5	3.5	3.5	3.5	3.5	35	A	17	4月25日	1.2	159	G	20	4月26日	ND.
ND.	ND.	ND.	ND.	ND.	37	A	10	4月25日	55.6	160	G	30	4月26日	ND.
ND.	ND.	ND.	ND.	ND.	37	A	20	4月25日	3446.5	161	G	10	4月26日	ND.
27.3	27.3	27.3	27.3	27.3	37	A	25	4月25日	7915.0	162	G	20	4月26日	ND.
58.4	58.4	58.4	58.4	58.4	71	A	10	4月25日	1.3	163	G	30	4月26日	ND.
ND.	ND.	ND.	ND.	ND.	71	A	20	4月25日	4475.0	164	G	10	4月26日	ND.
ND.	ND.	ND.	ND.	ND.	71	A	30	4月25日	6142.5	165	G	20	4月26日	ND.
ND.	ND.	ND.	ND.	ND.	72	A	10	4月25日	6142.5	166	G	30	4月26日	ND.
ND.	ND.	ND.	ND.	ND.	72	A	20	4月25日	22700.0	167	G	10	4月26日	ND.
ND.	ND.	ND.	ND.	ND.	72	A	30	4月25日	34385.0	168	G	20	4月26日	ND.
28.1	28.1	28.1	28.1	28.1	73	A	10	4月25日	ND.	169	G	30	4月26日	ND.
ND.	ND.	ND.	ND.	ND.	73	A	20	4月25日	ND.	170	G	10	4月26日	ND.
ND.	ND.	ND.	ND.	ND.	73	A	30	4月25日	4326.5	171	G	20	4月26日	ND.
ND.	ND.	ND.	ND.	ND.	36	A	10	4月25日	ND.	172	G	30	4月26日	ND.
ND.	ND.	ND.	ND.	ND.	36	A	20	4月25日	106.5	173	G	10	4月26日	ND.
ND.	ND.	ND.	ND.	ND.	69	A	10	4月25日	1.3	174	G	20		

図3.4.10 2005年春季(4~5月)ABトラック地下水DPAA汚染状況図

単位:  $\mu\text{g-As/L}$

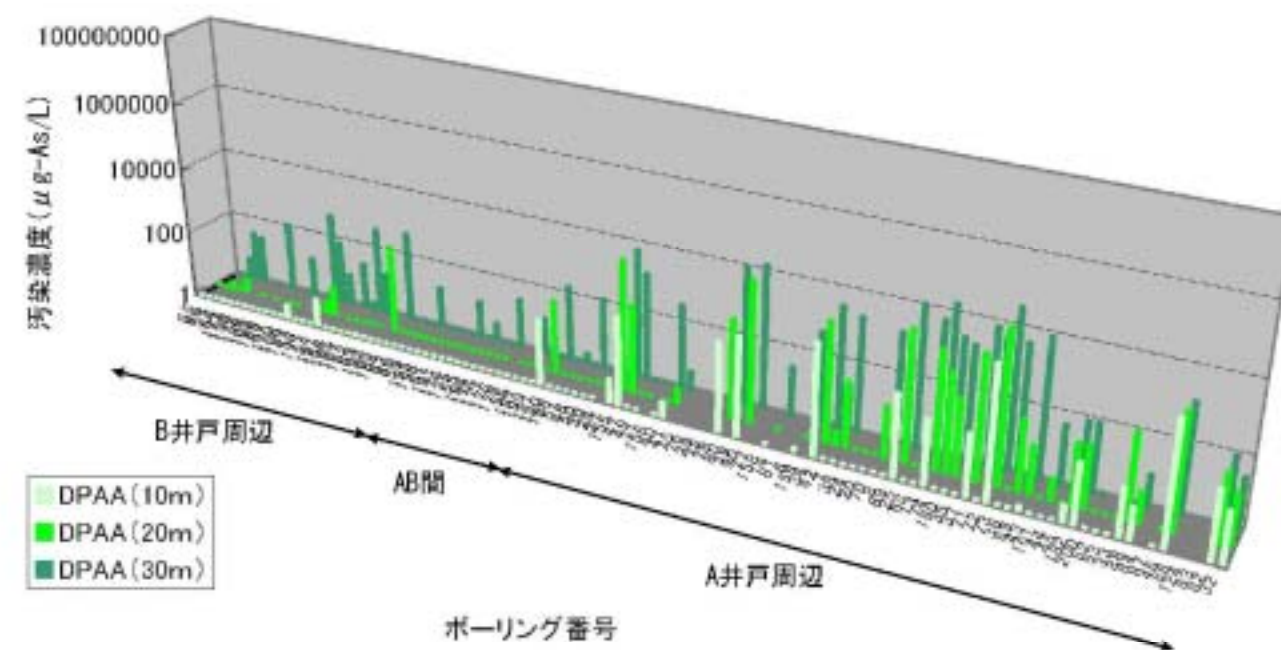
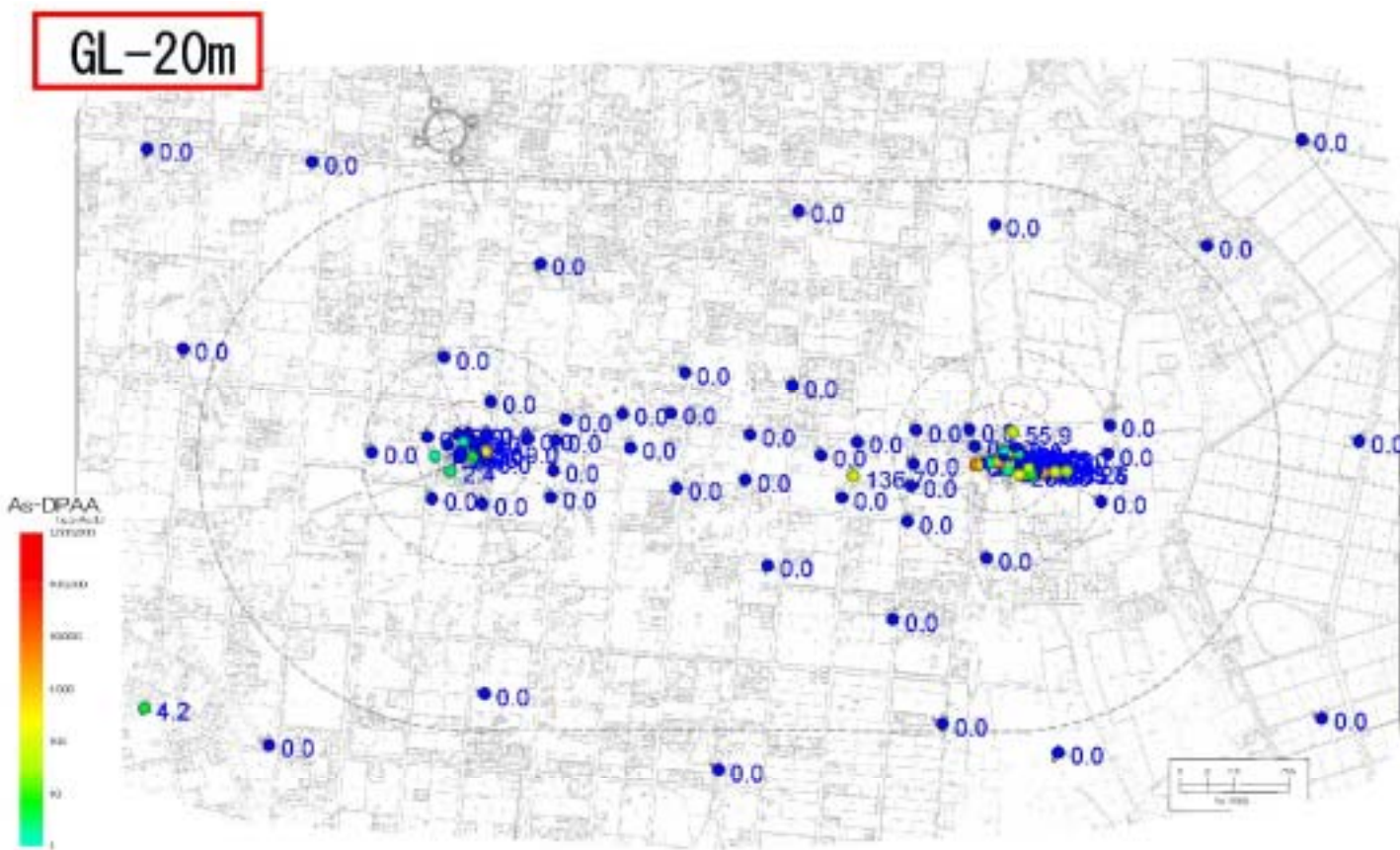
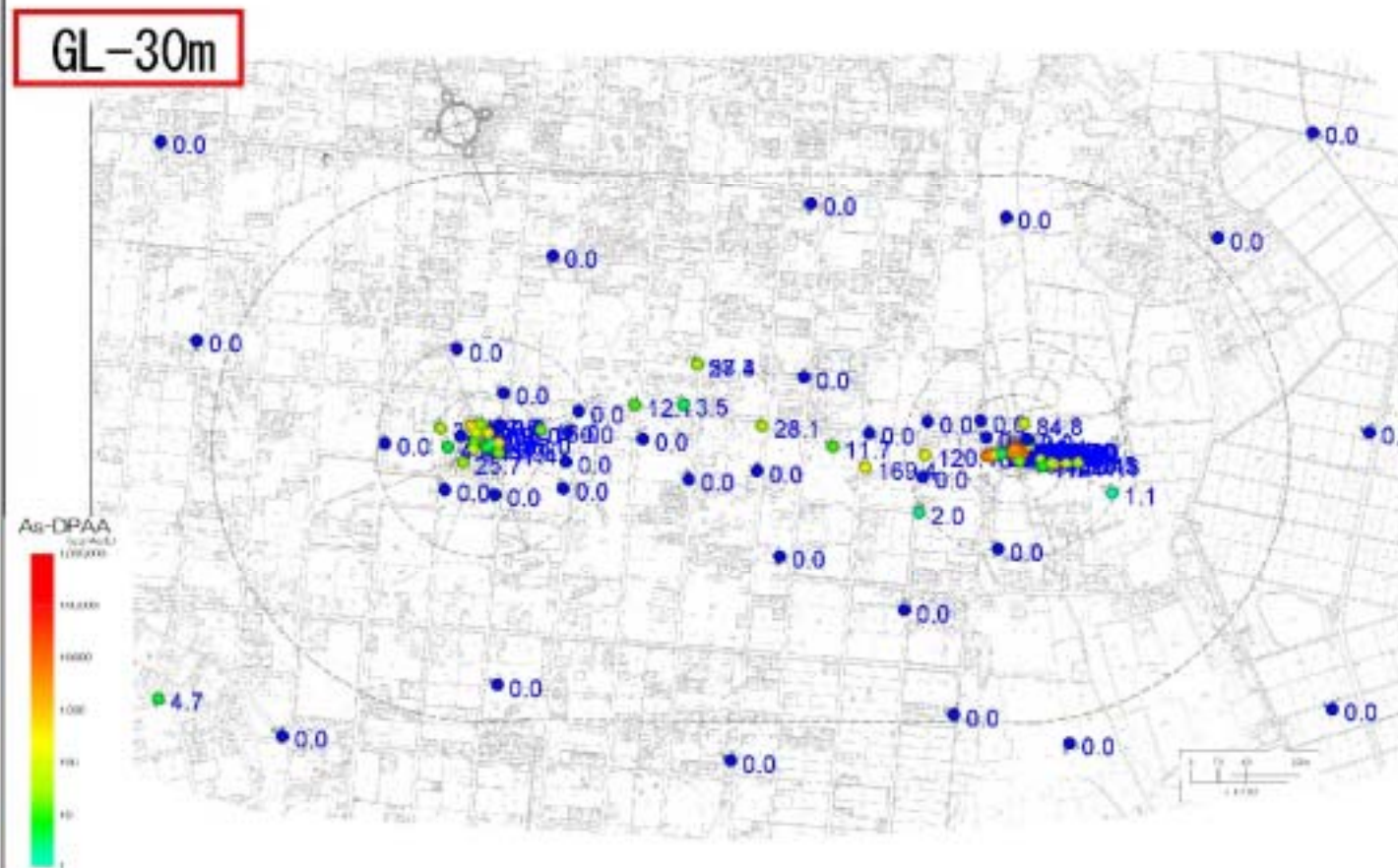
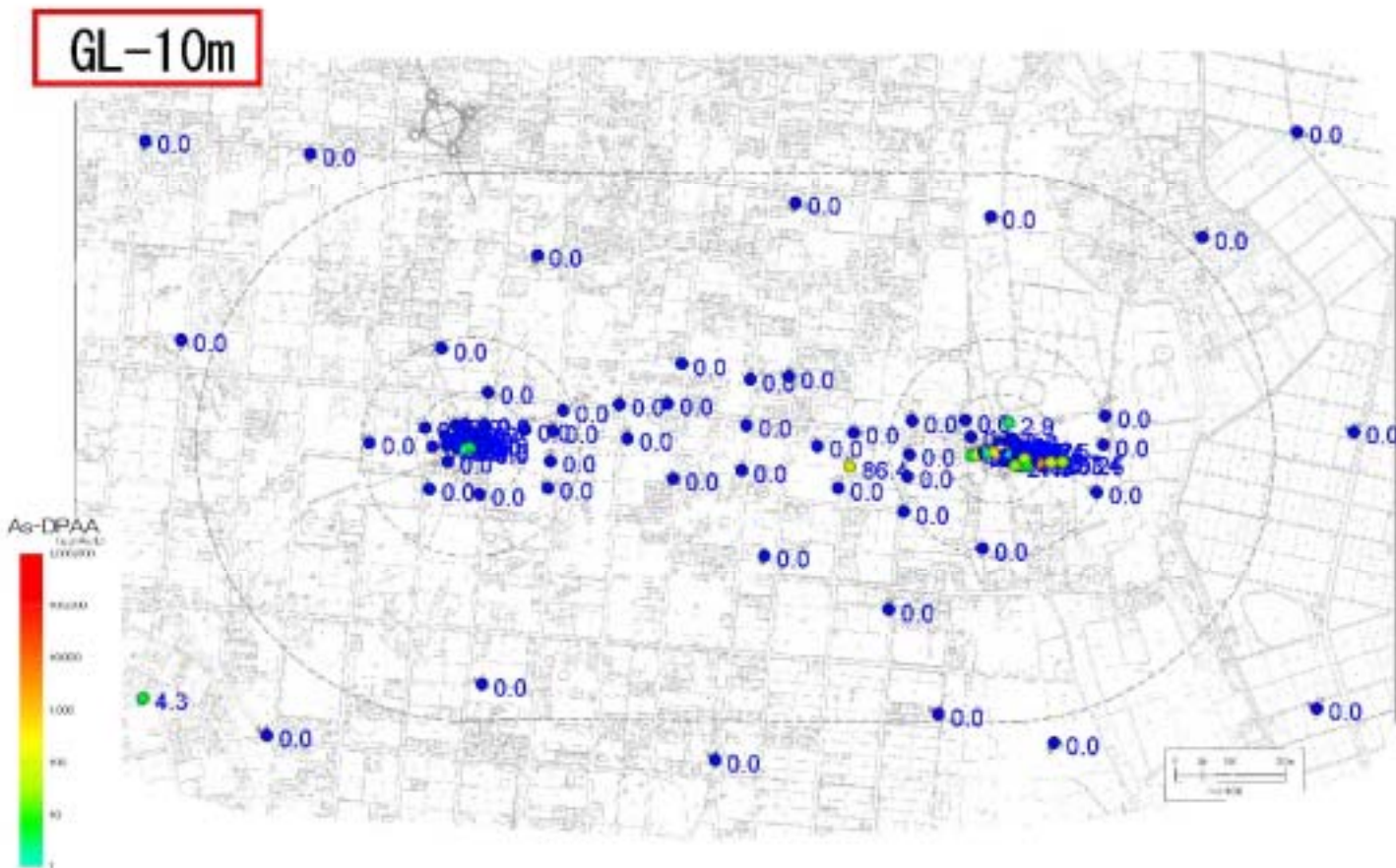




図3.4.11 2005年春季(4~5月)A井戸周辺地下水DPAA汚染状況図

単位:  $\mu\text{g-As/L}$

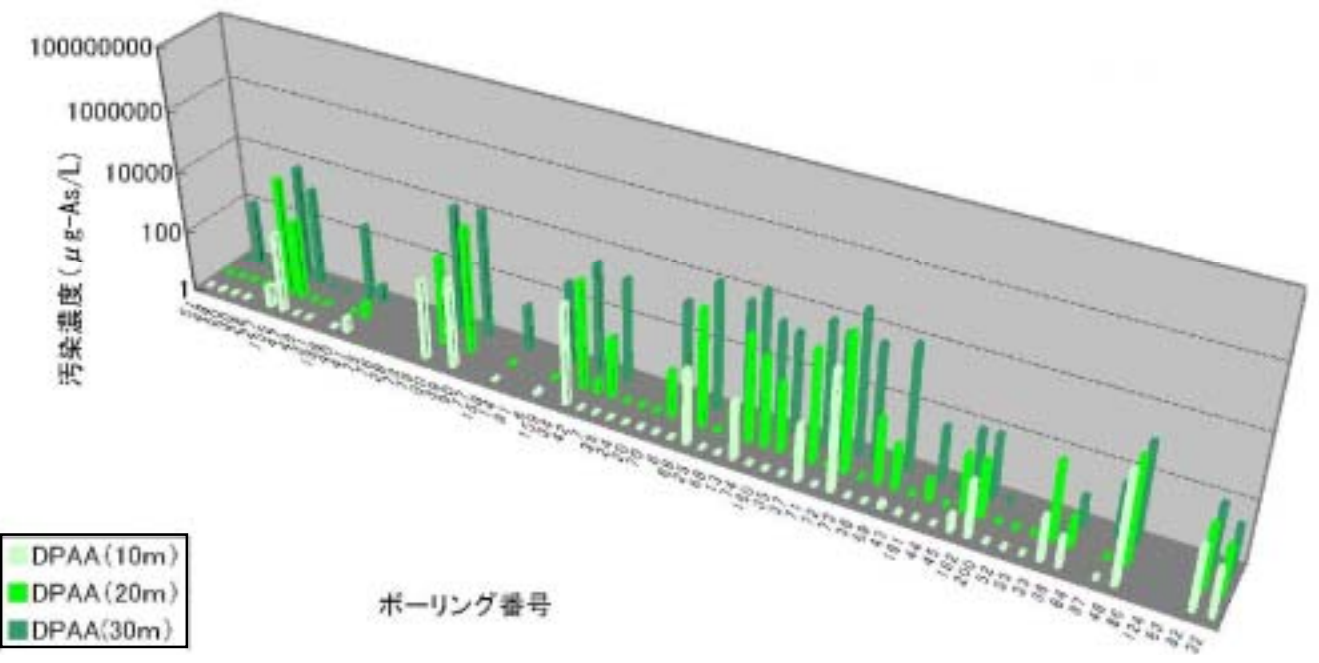
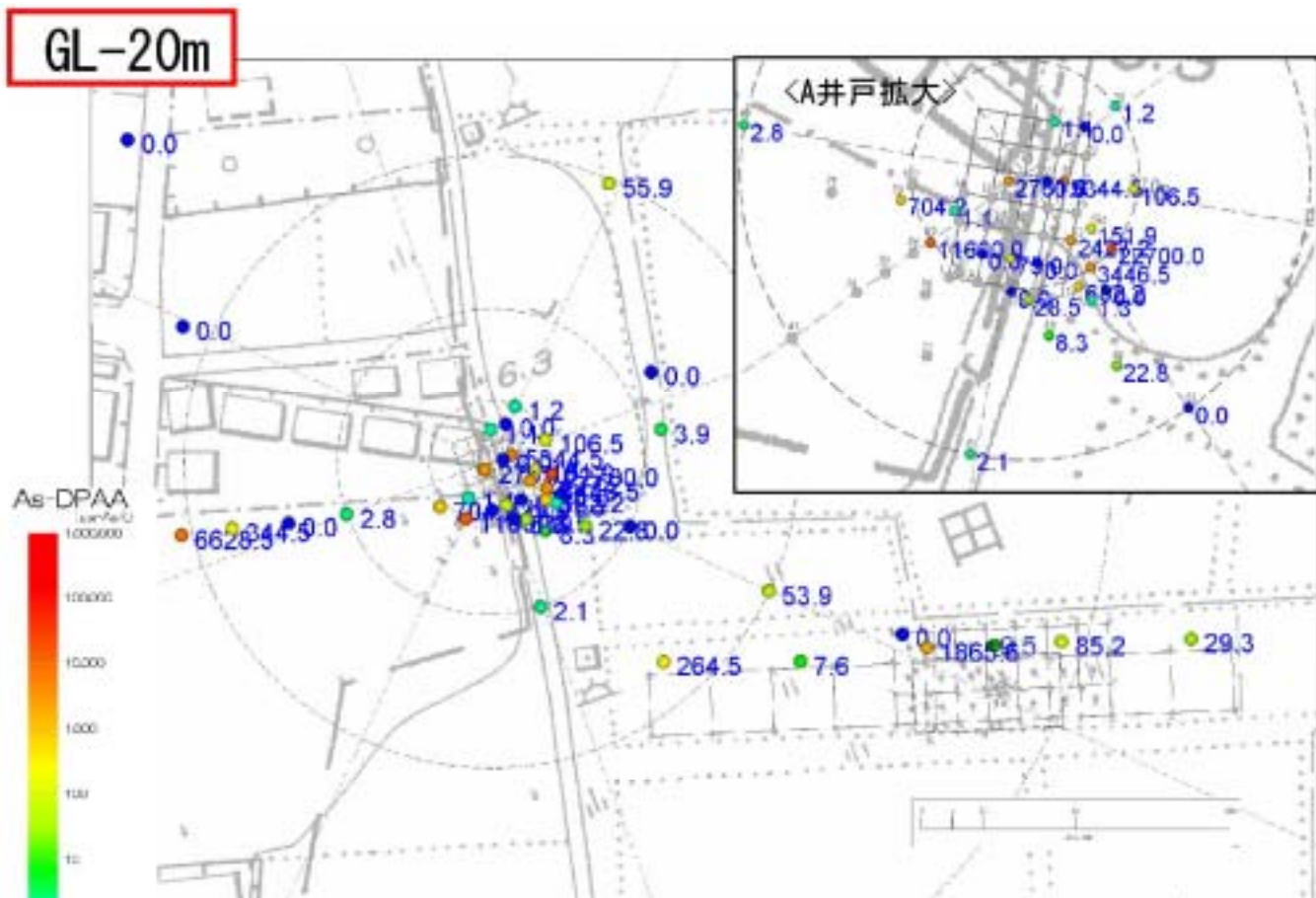
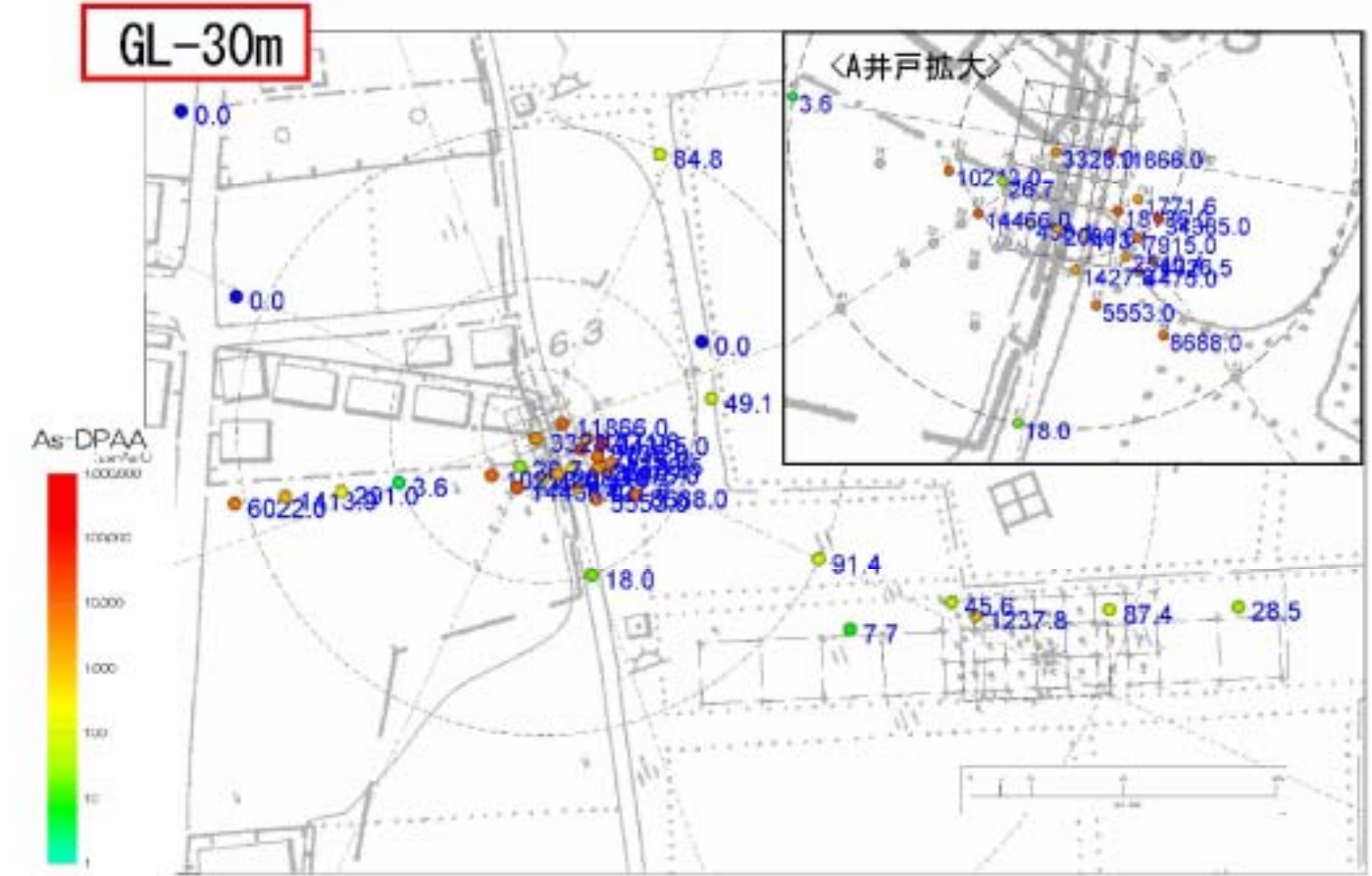
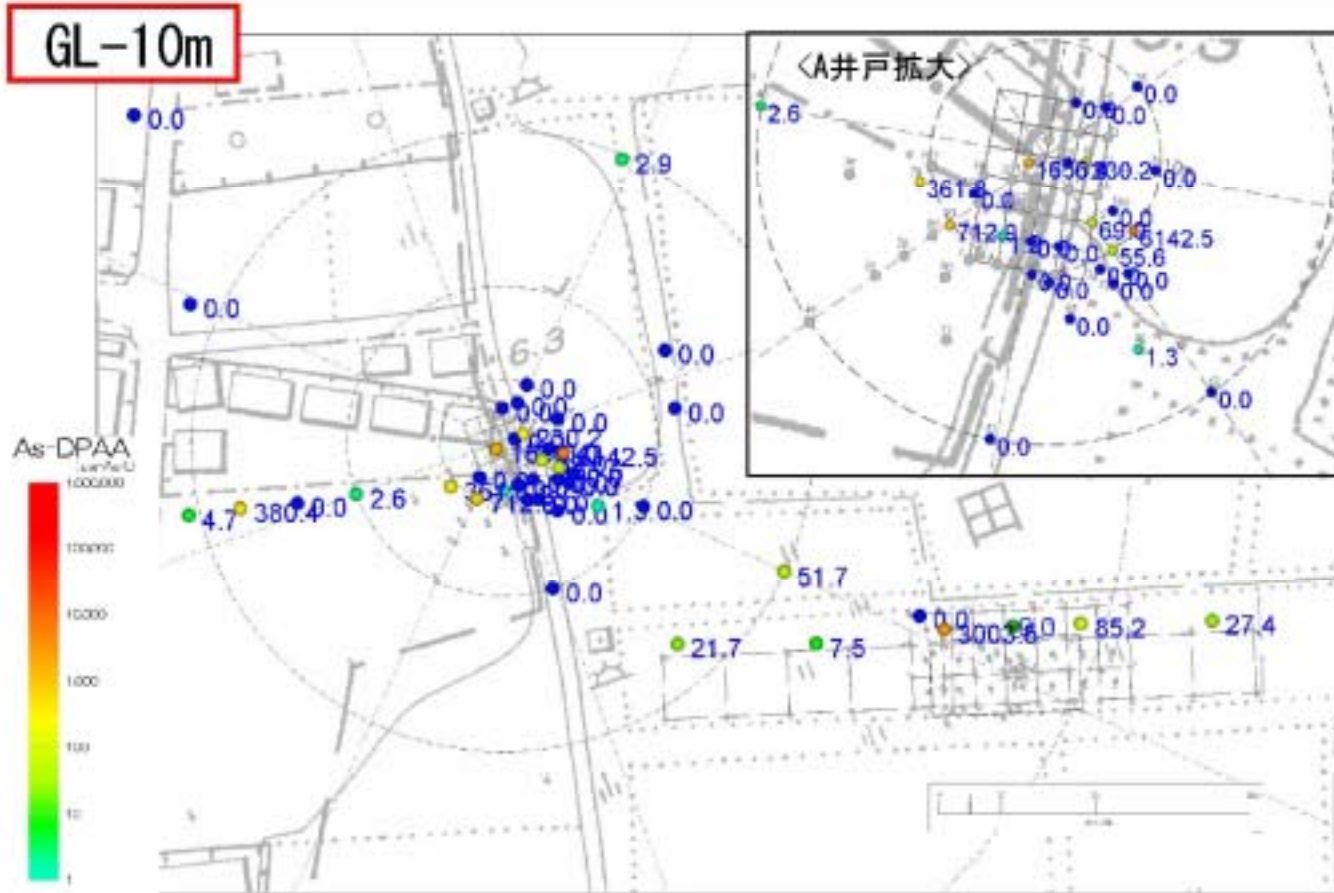




図3.4.12 2005年春季(4~5月)B地区地下水DPAA汚染状況図

単位:  $\mu\text{g-As/L}$

